

Comanche Peak Nuclear Power Plant, Units 3 & 4 **COL Application** **Part 2, FSAR**

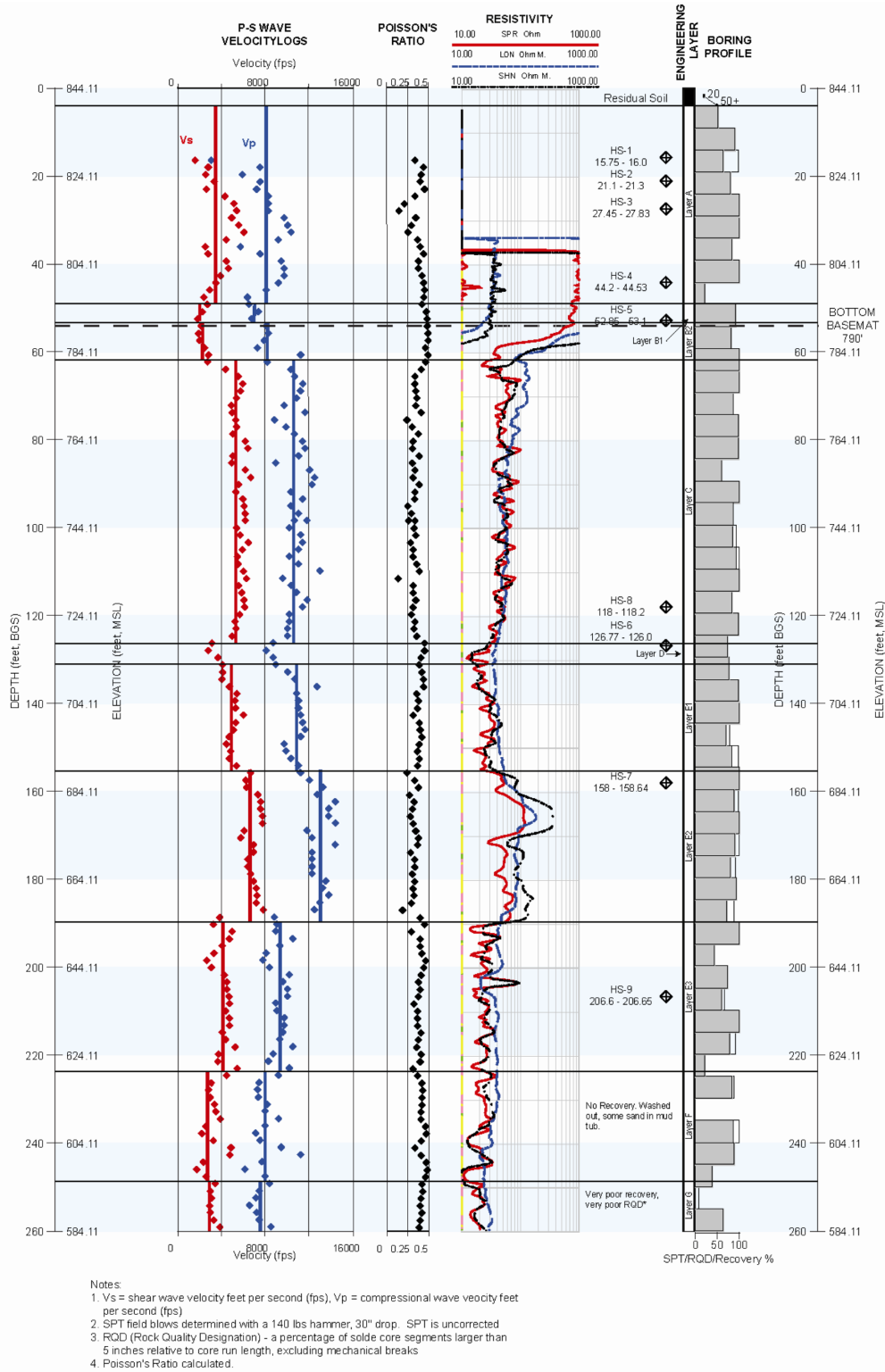


Figure 2.5.4-208 Boring In Situ Test Summary Log, B-1012 (Sheet 1 of 3)

P-S WAVE VELOCITY LOGS
Velocity (fps)

POISSON'S RATIO
0 0.25 0.5

RESISTIVITY
10.00 SPR Ohm 1000.00
10.00 LON Ohm M. 1000.00
10.00 SHN Ohm M. 1000.00

ENGINEERING LAYER
BORING PROFILE

DEPTH (feet, BGS) 260 280 300 320 340 360 380 400 420 440 480 500 520

ELEVATION (feet, MSL) 584.11 564.11 544.11 524.11 504.11 484.11 464.11 444.11 424.11 404.11 384.11 364.11 344.11 324.11

VS

8000 16000

0 0.25 0.5

10.00 1000.00

HS-10
264 - 264.3

No Recovery, Total Sample Wash Out
HS-11
309.4 - 309.7

No Recovery, Total Sample Wash Out

HS-12
335.3 - 335.4

Overdrilled from 354' to 359'. No sample recovered

HS-13
366 - 366.25

HS-14
381.4 - 381.65

4 N STEEL CASING TO 470 FT

HS-15
439.7 - 439.8

HS-16
449.4 - 449.7

HS-17
452.3 - 452.7

HS-18
459.2 - 459.4

HS-19
493.9 - 494.2

Mineral Veils formation

Layer C

Layer H

Layer I

Layer J

Layer K

Layer L

Layer M

Layer N

Layer O

Layer P

Layer Q

Layer R

Layer S

Layer T

Layer U

Layer V

Layer W

Layer X

Layer Y

Layer Z

Layer AA

Layer AB

Layer AC

Layer AD

Layer AE

Layer AF

Layer AG

Layer AH

Layer AI

Layer AJ

Layer AK

Layer AL

Layer AM

Layer AN

Layer AO

Layer AP

Layer AQ

Layer AR

Layer AS

Layer AT

Layer AU

Layer AV

Layer AW

Layer AX

Layer AY

Layer AZ

Layer BA

Layer BB

Layer BC

Layer BD

Layer BE

Layer BF

Layer BG

Layer BH

Layer BI

Layer BJ

Layer BK

Layer BL

Layer BM

Layer BN

Layer BO

Layer BP

Layer BQ

Layer BR

Layer BS

Layer BT

Layer BU

Layer BV

Layer BW

Layer BX

Layer BY

Layer BZ

Layer CA

Layer CB

Layer CC

Layer CD

Layer CE

Layer CF

Layer CG

Layer CH

Layer CI

Layer CJ

Layer CK

Layer CL

Layer CM

Layer CN

Layer CO

Layer CP

Layer CQ

Layer CR

Layer CS

Layer CT

Layer CU

Layer CV

Layer CW

Layer CX

Layer CY

Layer CZ

Layer DA

Layer DB

Layer DC

Layer DD

Layer DE

Layer DF

Layer DG

Layer DH

Layer DI

Layer DJ

Layer DK

Layer DL

Layer DM

Layer DN

Layer DO

Layer DP

Layer DQ

Layer DR

Layer DS

Layer DT

Layer DU

Layer DV

Layer DW

Layer DX

Layer DY

Layer DZ

Layer EA

Layer EB

Layer EC

Layer ED

Layer EE

Layer EF

Layer EG

Layer EH

Layer EI

Layer EJ

Layer EK

Layer EL

Layer EM

Layer EN

Layer EO

Layer EP

Layer EQ

Layer ER

Layer ES

Layer ET

Layer EU

Layer EV

Layer EW

Layer EX

Layer EY

Layer EZ

Layer FA

Layer FB

Layer FC

Layer FD

Layer FE

Layer FF

Layer FG

Layer FH

Layer FI

Layer FJ

Layer FK

Layer FL

Layer FM

Layer FN

Layer FO

Layer FP

Layer FQ

Layer FR

Layer FS

Layer FT

Layer FU

Layer FV

Layer FW

Layer FX

Layer FY

Layer FZ

Layer GA

Layer GB

Layer GC

Layer GD

Layer GE

Layer GF

Layer GH

Layer GI

Layer GJ

Layer GK

Layer GL

Layer GM

Layer GN

Layer GO

Layer GP

Layer GQ

Layer GR

Layer GS

Layer GT

Layer GU

Layer GV

Layer GW

Layer GX

Layer GY

Layer GZ

Layer HA

Layer HB

Layer HC

Layer HD

Layer HE

Layer HF

Layer HG

Layer HH

Layer HI

Layer HJ

Layer HK

Layer HL

Layer HM

Layer HN

Layer HO

Layer HP

Layer HQ

Layer HR

Layer HS

Layer HT

Layer HU

Layer HV

Layer HW

Layer HX

Layer HY

Layer HZ

Layer IA

Layer IB

Layer IC

Layer ID

Layer IE

Layer IF

Layer IG

Layer IH

Layer II

Layer IJ

Layer IK

Layer IL

Layer IM

Layer IN

Layer IO

Layer IP

Layer IQ

Layer IR

Layer IS

Layer IT

Layer IU

Layer IV

Layer IW

Layer IX

Layer IY

Layer IZ

Layer JA

Layer JB

Layer JC

Layer JD

Layer JE

Layer JF

Layer JG

Layer JH

Layer JI

Layer JJ

Layer JK

Layer JL

Layer JM

Layer JN

Layer JO

Layer JP

Layer JQ

Layer JR

Layer JS

Layer JT

Layer JU

Layer JV

Layer JW

Layer JX

Layer JY

Layer JZ

Layer KA

Layer KB

Layer KC

Layer KD

Layer KE

Layer KF

Layer KG

Layer KH

Layer KI

Layer KJ

Layer KK

Layer KL

Layer KM

Layer KN

Layer KO

Layer KP

Layer KQ

Layer KR

Layer KS

Layer KT

Layer KU

Layer KV

Layer KW

Layer KX

Layer KY

Layer KZ

Layer LA

Layer LB

Layer LC

Layer LD

Layer LE

Layer LF

Layer LG

Layer LH

Layer LI

Layer LJ

Layer LK

Layer LL

Layer LM

Layer LN

Layer LO

Layer LP

Layer LQ

Layer LR

Layer LS

Layer LT

Layer LU

Layer LV

Layer LW

Layer LX

Layer LY

Layer LZ

Layer MA

Layer MB

Layer MC

Layer MD

Layer ME

Layer MF

Layer MG

Layer MH

Layer MI

Layer MJ

Layer MK

Layer ML

Layer MM

Layer MN

Layer MO

Layer MP

Layer MQ

Layer MR

Layer MS

Layer MT

Layer MU

Layer MV

Layer MW

Layer MX

Layer MY

Layer MZ

Layer NA

Layer NB

Layer NC

Layer ND

Layer NE

Layer NF

Layer NG

Layer NH

Layer NI

Layer NJ

Layer NK

Layer NL

Layer NM

Layer NN

Layer NO

Layer NP

Layer NQ

Layer NR

Layer NS

Layer NT

Layer NU

Layer NV

Layer NW

Layer NX

Layer NY

Layer NZ

Layer OA

Layer OB

Layer OC

Layer OD

Layer OE

Layer OF

Layer OG

Layer OH

Layer OI

Layer OJ

Layer OK

Layer OL

Layer OM

Layer ON

Layer OO

Layer OP

Layer OQ

Layer OR

Layer OS

Layer OT

Layer OU

Layer

Revision 2

Comanche Peak Nuclear Power Plant, Units 3 & 4 **COL Application** **Part 2, FSAR**

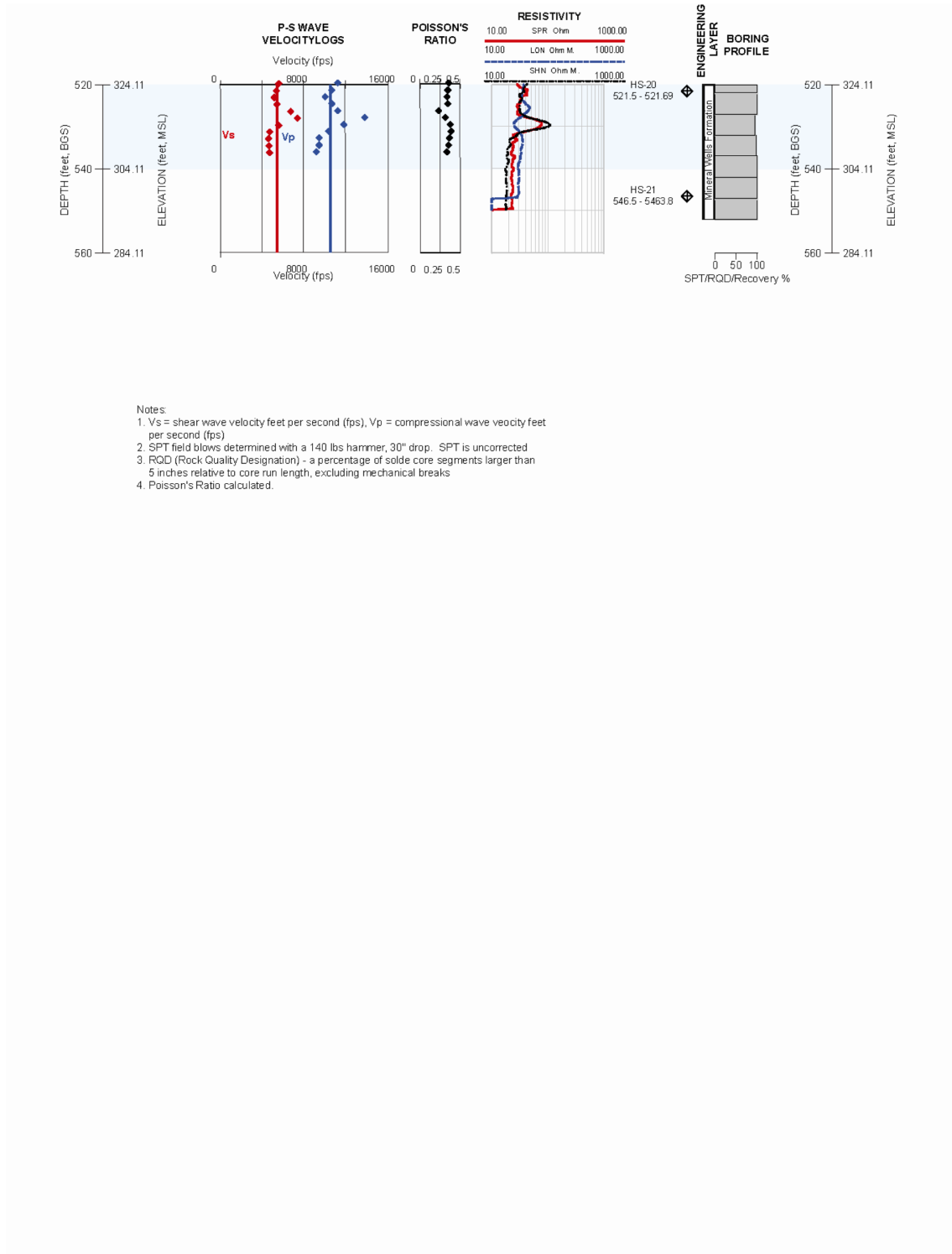


Figure 2.5.4-208 Boring In Situ Test Summary Log, B-1012 (Sheet 3 of 3)